

Schema

- riassunto precedente lezione
- estensione del QPM a reazioni di DIS con (anti)neutrino: teoria elettrodebole
- correnti cariche e neutre
- funzioni di struttura e distribuzioni di (anti)quark di valenza e del “mare”; partoni senza carica: i gluoni
- regole di somma

- definizione del Quark Parton Model (QPM); interpretazione e giustificazione intuitiva delle approssimazioni di base del modello
- scattering su costituenti elementari puntiformi del bersaglio: calcolo delle funzioni di struttura e predizione dello scaling
- relazione di Callan-Gross e dominanza della risposta trasversa per $Q^2 \rightarrow \infty$: i partoni sono fermioni ;
identificazione tra partoni e i quark
- estrazione dai dati di DIS su N delle distribuzioni di quark :
predominanza dei quark di valenza u_p e d_n per $x \rightarrow 1$
predominanza dei quark del “mare” per $x \rightarrow 0$
- concetto del quark costituente: $m_{cq} \sim m_N/3$ e $F_2^{cq} \sim \delta(x - 1/3)$
oltre a correzioni dovute a moto di Fermi e pQCD

- approssimazione di usare solo 2 flavors, $u(x)$ e $d(x)$, insufficiente :
nello spettro mesonico e barionico evidenza del terzo flavor $s(x)$
1974: scoperta della risonanza J/ψ , interpretabile come stato $c\bar{c}$

- osservazione di processi deboli con cambio di stranezza : $K^\pm \rightarrow \mu^\pm \nu$

- osservazione di correnti "neutre" in processi $\nu/e^- + p \rightarrow \nu/e^- + p$

Unificazione delle teorie dell'interazione elettromagnetica e debole

prime idee ~ '60 (Feynmann, Gell-Mann,
Glashow, Weinberg..)

- Meccanismo di Goldstone / Higgs
- Teorie non-abeliane rinormalizzabili

Settore elettrodebole del Modello Standard

Genesi del Modello Standard elettrodebole

- prime ipotesi (Feynmann Gell-Mann, '58 ; Glashow, '61) :
interazioni deboli cariche (W^\pm) legate a interazione e.m. isovettoriale (γ) da rotazione di isospin ; i leptoni e i quark sinistrorsi (left-handed) sono quindi organizzati in doppietti di isospin debole T secondo la simmetria $SU(2)_T$

$$\begin{pmatrix} \nu_e \\ e^- \end{pmatrix}_L \quad \begin{pmatrix} \nu_\mu \\ \mu^- \end{pmatrix}_L \quad \begin{pmatrix} u \\ d_\theta \end{pmatrix}_L \quad \begin{pmatrix} ? \\ s_\theta \end{pmatrix}_L$$

dove $d_\theta = d \cos \theta_C + s \sin \theta_C$; $s_\theta = -d \sin \theta_C + s \cos \theta_C$ θ_C **angolo di Cabibbo**
 d, s autostati di interazione forte
 d_θ, s_θ autostati di interazione debole

- Commenti:
- necessita` di un quarto flavor, il quark charm (scoperto nel '74)
 - transizioni left-handed tra ν e e^-/μ^- , tra quarks, via W^\pm
 d_θ , s_θ spiegano reazioni del tipo $K^\pm \rightarrow \mu^\pm \nu$

Genesi..... (continua)

- ipotesi della carica debole Y (Glashow, '61): ulteriore struttura $U(1)_Y$

i quark hanno carica e.m. $e_f = Y + \frac{1}{2} T_3$;

carica debole $Y = B + S$

riepilogo dei numeri quantici

	B	S	Y	T_3	e_f
u	$\frac{1}{3}$	0	$\frac{1}{3}$	$\frac{1}{2}$	$\frac{2}{3}$
d	$\frac{1}{3}$	0	$\frac{1}{3}$	$-\frac{1}{2}$	$-\frac{1}{3}$
s	$\frac{1}{3}$	-1	$-\frac{2}{3}$	0	$-\frac{1}{3}$

- teoria elettrodebole: i fermioni

interagiscono attraverso i bosoni di gauge \mathbf{W}, B

$$\mathcal{L}_{\text{weak}} = g \bar{\psi} \frac{\mathbf{T}}{2} \psi \cdot \mathbf{W} + g' \bar{\psi} Y \psi B^0 \quad \mathbf{g, g'} \text{ couplings incognite}$$

invarianza per $SU(2)_T \otimes U(1)_Y$ e fermioni / bosoni di gauge massless
 \Rightarrow teoria rinormalizzabile non-abeliana, perche' $[W_i, W_j] = i \epsilon_{ijk} W_k$

Ma $m_W \neq 0$! Altrimenti si vedrebbe in β / K decays

Genesi.... (continua)

- ('t Hooft, '71) : teorie non-abeliane rimangono rinormalizzabili se masse sono generate dinamicamente da rottura spontanea della simmetria di gauge ([meccanismi di Goldstone](#), '64; Higgs, '64...)

- rottura spontanea della simmetria implica $\mathbf{W}, B \rightarrow W^\pm, Z^0, A$

in particolare $A = \cos \theta_W B + \sin \theta_W W_3$

$Z^0 = -\sin \theta_W B + \cos \theta_W W_3$ θ_W angolo di Weinberg

$$\mathcal{L}_{\text{weak}} = g \bar{\psi} \frac{\mathbf{T}}{2} \psi \cdot \mathbf{W} + g' \bar{\psi} Y \psi B^0$$

$$\mathcal{L}_{\text{weak}} = \frac{g}{\sqrt{2}} \bar{\psi} \frac{T^\mp}{2} \psi \cdot W^\pm$$

$$e_f = Y + \frac{T_3}{2}$$

$$g' = g \tan \theta_W$$

$$+ g \sin \theta_W \bar{\psi} e_f \psi A + \frac{g}{\cos \theta_W} \bar{\psi} \left(\frac{T_3}{2} - e_f \sin^2 \theta_W \right) \psi Z^0$$

$$g \sin \theta_W \equiv e$$

$$+ e \bar{\psi} e_f \psi A + \frac{2e}{2 \sin \theta_W \cos \theta_W} \bar{\psi} \left(\frac{T_3}{2} - e_f \sin^2 \theta_W \right) \psi Z^0$$

3-Mar-04

corrente e.m. $\rightarrow \mathbf{A} \equiv \gamma$

correnti debole neutre



Rottura spontanea della simmetria : meccanismo di Goldstone

Esempio: teoria di campo per particella scalare ϕ

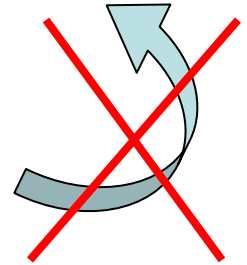
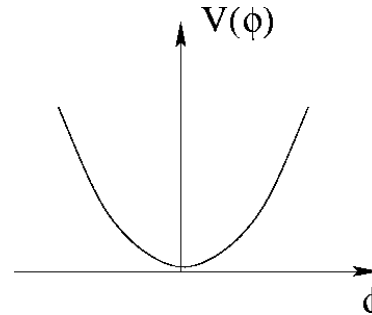
$$\mathcal{L}(\phi) = \frac{1}{2} (\partial_\mu \phi)^2 - V(\phi)$$

$$V(\phi) = \mu^2 \phi^2 + \lambda \phi^4, \quad \lambda > 0$$

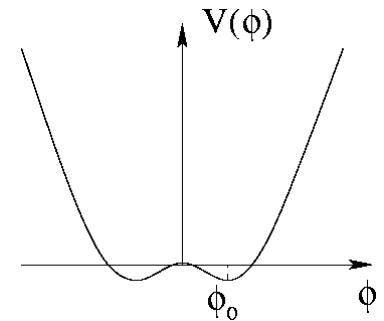
simmetria
 $\mathcal{L}(-\phi) = \mathcal{L}(\phi)$

vuoto $\equiv \frac{\partial V}{\partial \phi} = 0$

$\mu^2 > 0 \rightarrow \phi_0 = 0$



$\mu^2 < 0 \rightarrow \phi_0 = \pm \sqrt{\frac{-\mu^2}{2\lambda}}$



nuovo campo $\phi' = \phi - \phi_0$; $\phi'_0 = 0$

$$V(\phi') = \mu^2 (\phi' + \phi_0)^2 + \lambda (\phi' + \phi_0)^4 = -2\mu^2 \phi'^2 + o(\phi'^3)$$

$$\mathcal{L}(\phi') = \frac{1}{2} (\partial_\mu \phi')^2 + 2\mu^2 \phi'^2 + \dots = \underbrace{\frac{1}{2} (\partial_\mu \phi')^2 - \frac{1}{2} m^2 \phi'^2}_{\mathcal{L}_{free}(\phi')} + \dots$$

$m_{\phi'} = \sqrt{-4\mu^2}$



Riepilogo

settore elettrodebole del Modello Standard

=

teoria non-abeliana rinormalizzabile
delle interazioni e.m. e debole unificate
in simmetria di gauge $SU(2)_T \otimes U(1)_Y$

- Predizioni :
- necessita` di un quarto flavor, il quark charm
 - 4 bosoni di gauge: γ , W^\pm , Z^0
 - γ accoppiato a corrente conservata \rightarrow massless (ok con QED)
 - rapporto $\frac{\text{weak strength}}{\text{e.m. strength}}$ sperimentale si spiega se il coupling

costante di Fermi $G_F = \frac{e^2}{4\sqrt{2}M_W^2 \sin^2 \theta_W}$ con $M_W \sim 75$ GeV

risulta inoltre $M_W^2 = M_Z^2 \cos^2 \theta_W \rightarrow M_Z \geq M_W$

- correnti deboli cariche: W^\pm producono transizioni
 $\nu \leftrightarrow e^-$, $u \leftrightarrow d$, $u \leftrightarrow s$ (cambio di stranezza) ,
- correnti deboli neutre: $\nu + p \rightarrow \nu + p$,

Conferme sperimentali:

- quark charm osservato nella risonanza J / ψ (BNL, 1974)
- bosoni di gauge W^\pm , Z^0 osservati nell'exp. UA1 (CERN, 1983)

Nobel Rubbia, van der Meer

- dal Particle Data Group: $M_W = 80.22 \pm 0.0026$ GeV
 $M_Z = 91.187 \pm 0.007$ GeV
 $\sin^2 \theta_W (M_Z) = 0.2319 \pm 0.0005$

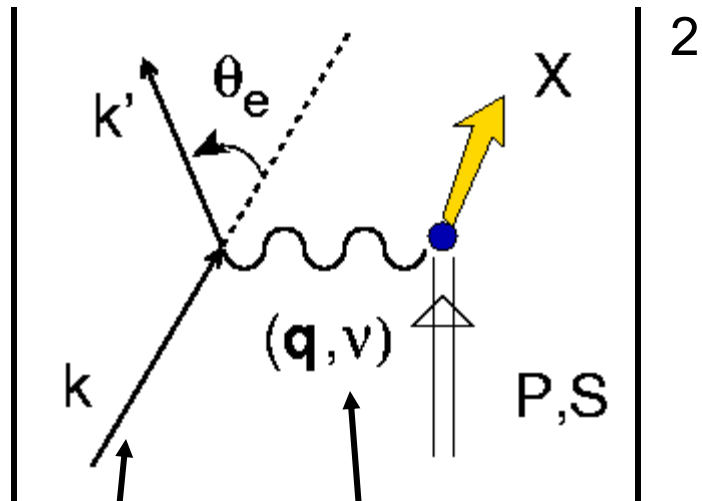
- si spiegano correnti deboli cariche con cambio di stranezza $K^\pm \rightarrow \mu^\pm \nu$
- correnti deboli neutre osservate al CERN nel 1973

Benvenuti *et al.*, PRL **32** 800 (74)

Hasert *et al.*, PL **B46** 138 (73)

- correnti deboli neutre non cambiano la stranezza (no $K^0 \rightarrow \mu^+ \mu^-$)
cancellazioni seguono da $m_q \ll M_W$ e da esistenza di quark c con
mixing $c \leftrightarrow -d \sin \theta_W + s \cos \theta_W$

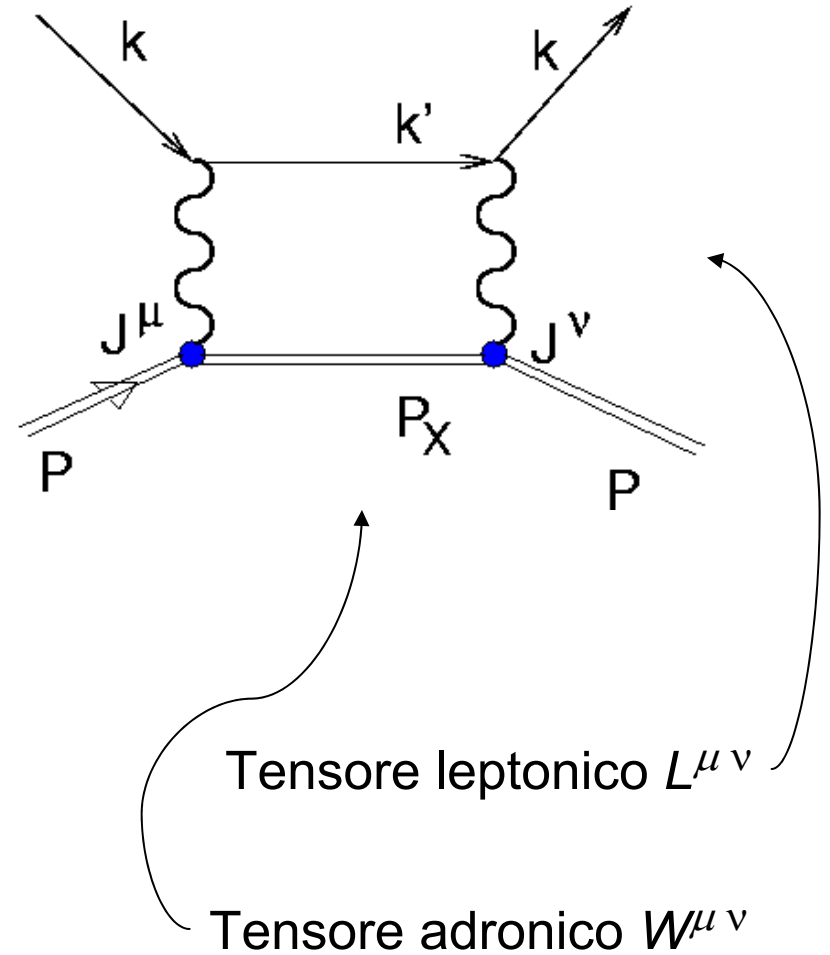
Deep Inelastic Scattering



$e^\pm, \mu^\pm,$
 $\nu_{e/\mu}, \bar{\nu}_{e/\mu}$

γ^*, W^\pm, Z^0

=



Tensore leptónico (continua)

$$\text{Tr} [\gamma^\mu \gamma^\alpha \gamma^\nu \gamma^\beta] = \text{Tr} [\gamma^\mu \gamma_5 \gamma^\alpha \gamma^\nu \gamma_5 \gamma^\beta] = 4(g^{\mu\alpha} g^{\nu\beta} + g^{\mu\beta} g^{\nu\alpha} - g^{\mu\nu} g^{\alpha\beta})$$

$$\text{Tr} [\gamma^\mu \gamma_5 \gamma^\alpha \gamma^\nu \gamma^\beta] = \text{Tr} [\gamma^\mu \gamma^\alpha \gamma^\nu \gamma_5 \gamma^\beta] = 4i\epsilon^{\mu\nu\alpha\beta}$$

$$L^{\mu\nu} = \frac{e^2}{8 \sin^2 \theta_W} 2 \left(k'^\mu k^\nu + k'^\nu k^\mu - k \cdot k' g^{\mu\nu} \mp i\epsilon^{\mu\nu\alpha\beta} k'_\alpha k_\beta \right)$$

e.m.

$$k' = k + q$$

$$k^2 = k'^2 = m_e^2 \sim 0$$

$$= \frac{e^2}{8 \sin^2 \theta_W} \left[\left(-g^{\mu\nu} + \frac{q^\mu q^\nu}{q^2} \right) Q^2 + 4\tilde{p}^\mu \tilde{p}^\nu \pm 2i\epsilon^{\mu\nu\alpha\beta} k_\alpha q_\beta \right]$$

$$\equiv \frac{e^2}{8 \sin^2 \theta_W} \left[L^{\mu\nu}(S) \pm L^{\mu\nu}(A) \right]$$

$$\tilde{p} = p - \frac{p \cdot q}{q^2} q \stackrel{\text{elastic}}{=} p + \frac{q}{2}$$

parte antisimmetrica del tensore e` memoria dell'interferenza tra corrente debole vettoriale ed assiale

Sezione d'urto

$$d\sigma = \frac{1}{\mathcal{F}} |\mathcal{M}|^2 dR$$

$$\mathcal{F} = 4 \sqrt{(P \cdot k)^2 - P^2 k^2} \stackrel{\text{flusso}}{=} 4ME$$

spazio fasi

$$dR = (2\pi)^4 \delta(P + q - P_X) \frac{d\mathbf{P}_X}{(2\pi)^3 2P_X^0} \frac{dk'}{(2\pi)^3 2E'}$$

ampiezza di scattering

$$|\mathcal{M}|^2 = \frac{1}{2} \sum_{S,X} \left| \bar{u}(k') \Gamma_{\mu} u(k) \frac{1}{Q^2 + M_W^2} \frac{e}{2\sqrt{2} \sin \theta_W} \frac{T_3}{2} \langle P_X | J^{\mu}(0) | P, S \rangle \right|^2 \left(\frac{E' dE' d\Omega}{16\pi^3} \right)$$

$$= \frac{e^4}{64 \sin^4 \theta_W} \frac{1}{(Q^2 + M_W^2)^2} \frac{1}{4} L_{\mu\nu} H^{\mu\nu}$$

$$\frac{d\sigma}{dE' d\Omega} = \frac{e^4}{64 \sin^4 \theta_W} \frac{E'}{E} \frac{1}{4M} \frac{1}{8\pi^2} \frac{1}{(Q^2 + M_W^2)^2} L_{\mu\nu}$$

$$\times \frac{1}{2\pi} \int \frac{d\mathbf{P}_X}{(2\pi)^3 2P_X^0} (2\pi)^4 \delta(P + q - P_X) H^{\mu\nu}$$

$$= \frac{\alpha^2}{64 \sin^4 \theta_W} \frac{E'}{E} \frac{1}{(Q^2 + M_W^2)^2} \frac{1}{2M} L_{\mu\nu} 2MW^{\mu\nu}$$

N.B. Il propagatore del bosone vettore di gauge si approssima

$$\left(-g^{\mu\nu} + \frac{q^\mu q^\nu}{q^2} \right) \frac{1}{q^2 - M_W^2} \sim -\frac{g^{\mu\nu}}{q^2 - M_W^2}$$

perche' $q^\mu q^\nu \sim \left(\frac{m_e}{M_W} \right)^2 \sim 0$

Tensore adronico

- 2 vettori indipendenti P, q
- base tensoriale: $b_1=g^{\mu\nu}, b_2=q^\mu q^\nu, b_3=P^\mu P^\nu,$
 $b_4=(P^\mu q^\nu + P^\nu q^\mu), b_5=(P^\mu q^\nu - P^\nu q^\mu),$
 $b_6= \varepsilon_{\mu\nu\rho\sigma} q^\rho P^\sigma$
- tensore adronico $W^{\mu\nu} = \sum_i c_i(q^2, P \cdot q) b_i$
 Hermiticity $\rightarrow c_i$ sono reali
- invarianza per time-reversal,
 conservazione della corrente $q_\mu W^{\mu\nu} = W^{\mu\nu} q_\nu = 0$
- sistema lineare con $c_5=0$, c_1 e c_3 dipendenti da c_2 e c_4
- Risultato finale :

$$W^{\mu\nu} = \left(-g^{\mu\nu} + \frac{q^\mu q^\nu}{q^2} \right) c_2(q^2, P \cdot q) + \frac{\tilde{P}^\mu \tilde{P}^\nu}{M^2} c_4(q^2, P \cdot q) - i \varepsilon^{\mu\nu\rho\sigma} \frac{P_\rho q_\sigma}{M^2} c_6(q^2, P \cdot q)$$

\downarrow
 W_1

\downarrow
 W_2

\downarrow

W_3

$\underbrace{\hspace{15em}}$
 $W^{(S)}_{\mu\nu}$

$\underbrace{\hspace{15em}}$
violazione di parita'

$\underbrace{\hspace{15em}}$

$W^{(A)}_{\mu\nu}$

$$\begin{aligned}
 L_{\mu\nu} &= L_{\mu\nu}^{(S)} \pm L_{\mu\nu}^{(A)} \\
 W^{\mu\nu} &= W^{(S)\mu\nu} + W^{(A)\mu\nu}
 \end{aligned}
 \longrightarrow
 \begin{aligned}
 L_{\mu\nu} W^{\mu\nu} &= L_{\mu\nu}^{(S)} W^{(S)\mu\nu} \\
 &\quad \pm L_{\mu\nu}^{(A)} W^{(A)\mu\nu}
 \end{aligned}$$

N.B. le costanti di accoppiamento sono esplicitamente fattorizzate

$$L^{\mu\nu} = \frac{e^2}{8 \sin^2 \theta_W} \left[\left(-g^{\mu\nu} + \frac{q^\mu q^\nu}{q^2} \right) Q^2 + 4\tilde{p}^\mu \tilde{p}^\nu \pm 2i\epsilon^{\mu\nu\alpha\beta} k_\alpha q_\beta \right]$$

$$W^{\mu\nu} = \frac{e^2}{8 \sin^2 \theta_W} \left[\left(-g^{\mu\nu} + \frac{q^\mu q^\nu}{q^2} \right) W_1 + \frac{\tilde{P}^\mu \tilde{P}^\nu}{M^2} W_2 - i\epsilon^{\mu\nu\rho\sigma} \frac{P_\rho q_\sigma}{2M^2} W_3 \right]$$

$$\begin{aligned}
 L_{\mu\nu} W^{\mu\nu} &\stackrel{TRF}{=} \frac{e^4}{64 \sin^4 \theta_W} 4EE' \cos^2 \frac{\theta_e}{2} \\
 &\quad \times \left[2W_1 \tan^2 \frac{\theta_e}{2} + W_2 \pm \frac{E + E'}{M} \tan^2 \frac{\theta_e}{2} W_3 \right]
 \end{aligned}$$

e.m.

Sezione d'urto

$$\begin{aligned}
 \frac{d\sigma^{\nu/\bar{\nu}}}{dE'd\Omega} &= \frac{\alpha^2}{64 \sin^4 \theta_W} \frac{E'}{E} \frac{1}{(Q^2 + M_W^2)^2} L_{\mu\nu} W^{\mu\nu} \\
 &= \frac{\alpha^2}{64 \sin^4 \theta_W} \frac{E'}{E} \frac{1}{(Q^2 + M_W^2)^2} 4EE' \cos^2 \frac{\theta_e}{2} \\
 &\quad \times \left[2W_1 \tan^2 \frac{\theta_e}{2} + W_2 \pm \frac{E + E'}{M} \tan^2 \frac{\theta_e}{2} W_3 \right]
 \end{aligned}$$

$$\begin{aligned}
 &= \frac{G_F^2}{8\pi^2} \left(\frac{M_W^2}{Q^2 + M_W^2} \right)^2 E'^2 \cos^2 \frac{\theta_e}{2} \\
 &\quad \times \left[2\frac{F_1}{M} \tan^2 \frac{\theta_e}{2} + \frac{F_2}{\nu} \pm \frac{E + E'}{M\nu} \tan^2 \frac{\theta_e}{2} F_3 \right]
 \end{aligned}$$

$$\begin{aligned}
 W_1 &\rightarrow \frac{F_1}{M} \\
 W_2 &\rightarrow \frac{F_2}{\nu} \\
 W_3 &\rightarrow \frac{F_3}{\nu}
 \end{aligned}$$

Limite DIS :

$$G_F = \frac{e^2}{4\sqrt{2}M_W^2 \sin^2 \theta_W}$$

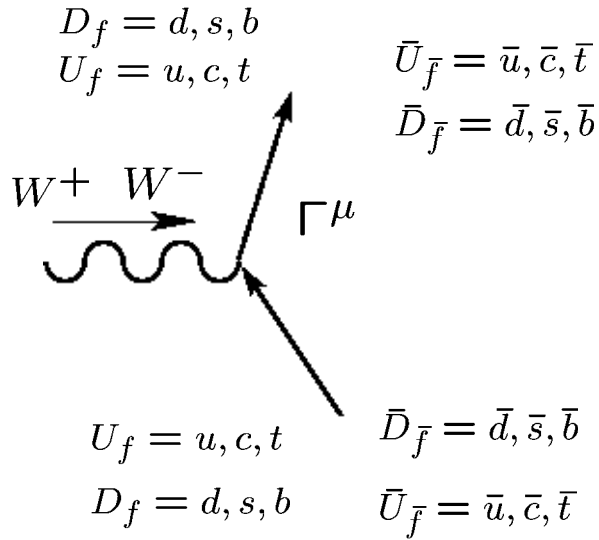
Sezione d'urto (continua)

$$\begin{aligned}
 Q^2 &= 4EE' \sin^2 \frac{\theta_e}{2} \\
 dQ^2 &= 4EE' 2 \sin \frac{\theta_e}{2} \cos \frac{\theta_e}{2} \frac{d\theta_e}{2} = \frac{EE'}{\pi} \sin \theta_e d\theta_e d\phi = \frac{EE'}{\pi} d\Omega \\
 dx_B &= \frac{dQ^2}{2M\nu}
 \end{aligned}
 \qquad
 \begin{aligned}
 dE' &= d(E + \nu) = d\nu \\
 dy &= d\left(\frac{\nu}{E}\right) = \frac{d\nu}{E}
 \end{aligned}$$

$$\begin{aligned}
 \frac{d\sigma^{\nu/\bar{\nu}}}{dx_B dy} &= \frac{dE' d\Omega}{dx_B dy dE' d\Omega} \frac{d\sigma}{dE' d\Omega} = \frac{\pi 2M\nu}{E'} \frac{d\sigma}{dE' d\Omega} \\
 &= \frac{G_F^2}{4\pi} \left(\frac{M_W^2}{Q^2 + M_W^2} \right)^2 M y E E' \\
 &\quad \times \left[\frac{F_1}{M} \frac{Q^2}{2EE'} + \frac{F_2}{\nu} \left(1 - \frac{Q^2}{4EE'} \right) \pm \frac{E + E'}{M\nu} \frac{Q^2}{4EE'} F_3 \right] \\
 &= \frac{G_F^2}{4\pi} \left(\frac{M_W^2}{Q^2 + M_W^2} \right)^2 M E \left[F_1 x_B y^2 + F_2 \left(\frac{E'}{E} - \frac{M x_B y}{2E} \right) \pm x_B y \frac{E + E'}{2E} F_3 \right] \\
 &= \frac{G_F^2}{4\pi} \left(\frac{M_W^2}{Q^2 + M_W^2} \right)^2 M E \left[F_1 x_B y^2 + F_2 \left(1 - y - \frac{M x_B y}{2E} \right) \pm x_B \left(y - \frac{y^2}{2} \right) F_3 \right]
 \end{aligned}$$

Vertice elettrodebole elementare

$$\begin{aligned}
 W^{\text{el} \mu\nu} &= \frac{1}{2m} \frac{1}{2\pi} \int \frac{d\mathbf{p}'}{(2\pi)^3 2p'^0} (2\pi)^4 \delta(p' - xp - q) H^{\text{el} \mu\nu} \\
 &= \frac{1}{2m} \delta(2xp \cdot q - Q^2) H^{\text{el} \mu\nu} = \frac{1}{2mQ^2} \delta\left(\frac{x}{x_B} - 1\right) H^{\text{el} \mu\nu}
 \end{aligned}$$



interazione e.m. → scambio di γ

$$\Gamma^\mu = e\gamma^\mu$$

quark (**left-handed**)

$$\Gamma^\mu = \frac{e}{2\sqrt{2} \sin \theta_W} \frac{T_3(=+1)}{2} \gamma^\mu (1 - \gamma_5) \sum_{f'} V_{ff'}$$

antiquark (**right-handed**)

$$\Gamma^\mu = \frac{e}{2\sqrt{2} \sin \theta_W} \frac{T_3(=-1)}{2} \gamma^\mu (1 + \gamma_5) \sum_{\bar{f}'} V_{\bar{f}\bar{f}'}$$

$$\begin{pmatrix} U_f \\ D_f \end{pmatrix} \equiv \begin{pmatrix} u \\ d \end{pmatrix} \begin{pmatrix} c \\ s \end{pmatrix} \begin{pmatrix} t \\ b \end{pmatrix}$$

$$\begin{aligned}
 V_{U_f D_f} &= \begin{pmatrix} V_{ud} & V_{us} & V_{ub} \\ V_{cd} & V_{cs} & V_{cb} \\ V_{td} & V_{ts} & V_{tb} \end{pmatrix} \in SU_f(3) \\
 &\sim \begin{pmatrix} \cos \theta_C & \sin \theta_C & 0 \\ -\sin \theta_C & \cos \theta_C & 0 \\ 0 & 0 & 1 \end{pmatrix}
 \end{aligned}$$

$$\sum_{f'} |V_{U_f D_f}|^2 = 1$$

Tensore adronico elementare

$$\begin{aligned} H^{\text{el}\mu\nu} &= \frac{e_f^2}{4} \text{Tr} [\gamma^\mu (1 \mp \gamma_5) (x \not{p} + \not{q}) \gamma^\nu (1 \mp \gamma_5) x \not{p}] \sum_{f'} |V_{U_f D_{f'}}|^2 \\ &= H^{\text{el}(S)\mu\nu} \pm H^{\text{el}(A)\mu\nu} \end{aligned}$$

$$\text{Poi} \quad L_{\mu\nu} H^{\text{el}\mu\nu} = L_{\mu\nu}^{(S)} H^{\text{el}(S)\mu\nu} \pm L_{\mu\nu}^{(A)} H^{\text{el}(A)\mu\nu}$$

Metodo alternativo

DIS elastico di elettrone su fermione puntiforme

$$\frac{d\sigma}{dE'd\Omega} = \frac{4\alpha^2 E'^2}{Q^4} \left(\cos^2 \frac{\theta_e}{2} + \frac{Q^2}{2M^2} \sin^2 \frac{\theta_e}{2} \right) \delta \left(\nu - \frac{Q^2}{2M} \right)$$

$$1 - \sin^2 \frac{\theta_e}{2} \sim 1$$

non helicity-flip, cioè
scattering $f_L - f_L$ e $f_R - f_R$

helicity-flip magnetico, cioè
scattering $f_L - f_R$ e $f_R - f_L$

$f_h = \text{fermione}_{\text{helicity}}$

Variabili di Mandelstam

$$\begin{cases} s = (P+k)^2 \sim 2ME \\ t = (k-k')^2 = -Q^2 \\ u = (P-k')^2 \sim -2ME' \end{cases}$$

$$\frac{d\sigma}{dtdu} = \frac{\pi}{2ME E'} \frac{d\sigma}{dE'd\Omega}$$

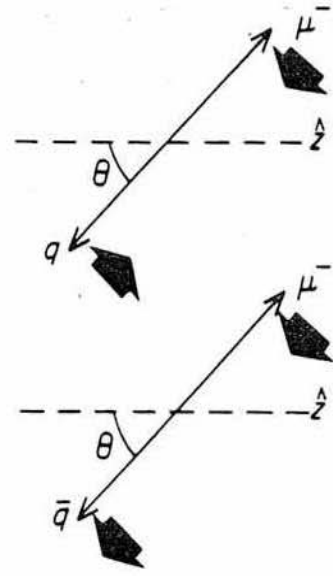
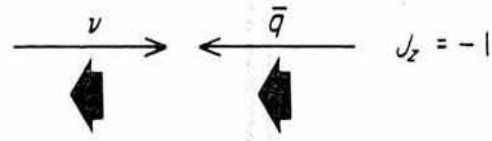
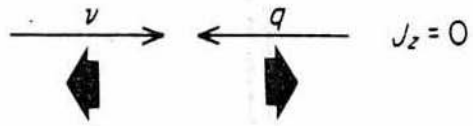
$$\sim \frac{4\pi\alpha^2}{t^2} \frac{1}{2} \frac{2E'}{E} \left(1 + \frac{Q^2}{2M^2} \frac{Q^2}{4EE'} \right) \delta(2M\nu - Q^2)$$

$$d\nu = dE' = -\frac{1}{2M} du$$

$$= \frac{4\pi\alpha^2}{t^2} \frac{1}{2} \left(\frac{t^2}{s^2} - \frac{2u}{s} \right) \delta(s+t+u)$$

$$dQ^2 = \frac{EE'}{\pi} d\Omega = -dt$$

$$= \frac{4\pi\alpha^2}{t^2} \frac{1}{2} \left(1 + \frac{u^2}{s^2} \right) \delta(s+t+u)$$



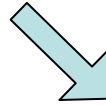
isotropico

$$\frac{1}{2} (1 + \cos\theta) = 1 - y$$

DIS elastico di elettrone su quark

$$s \rightarrow xs \quad u \rightarrow xu$$

$$\frac{d\sigma}{dtdu} = \frac{4\pi\alpha^2}{t^2} \frac{1}{2} \left(1 + \frac{u^2}{s^2} \right) \delta(s + t + u)$$



$$\frac{d\sigma^{\text{el}}}{dtdu} = \frac{4\pi\alpha^2 e_f^2}{t^2} \frac{1}{2} \left(1 + \frac{u^2}{s^2} \right) x \delta(t + x(s + u))$$

DIS elastico di (anti)neutrino su quark

Accoppiamento debole richiede leptoni left-handed e antileptoni right-handed

Combinazioni possibili :

$\nu_{e/\mu} \rightarrow (e^-/\mu^- + W^+)$	+	$(d + W^+) \rightarrow u$	}	no helicity flip
$\bar{\nu}_{e/\mu} \rightarrow (e^+/\mu^+ + W^-)$	+	$(\bar{d} + W^-) \rightarrow \bar{u}$	}	
$\bar{\nu}_{e/\mu} \rightarrow (e^+/\mu^+ + W^-)$	+	$(u + W^-) \rightarrow d$	}	helicity flip
$\nu_{e/\mu} \rightarrow (e^-/\mu^- + W^+)$	+	$(\bar{u} + W^+) \rightarrow \bar{d}$	}	

DIS elastico di (anti)neutrino su quark (continua)

no helicity flip

$V \mp A \quad V \mp A$

$$\frac{d\sigma^{\text{el}}}{dtdu} = \frac{G_F^2 e_f^2}{8\pi} \left(\frac{M_W^2}{Q^2 + M_W^2} \right)^2 1 x \delta(t + x(s + u))$$

helicity flip

$V \mp A \quad V \pm A$

$$\frac{d\sigma^{\text{el}}}{dtdu} = \frac{G_F^2 e_f^2}{8\pi} \left(\frac{M_W^2}{Q^2 + M_W^2} \right)^2 \frac{u^2}{s^2} x \delta(t + x(s + u))$$

Quindi

$$\begin{aligned} \frac{d\sigma^{\text{el}\nu}}{dx_B dy} &= \frac{\pi 2M\nu}{E'} \frac{2ME E'}{\pi} \frac{d\sigma^{\text{el}}}{dtdu} \\ &= \frac{G_F^2 e_f^2}{8\pi} \left(\frac{M_W^2}{Q^2 + M_W^2} \right)^2 s \left[1 |q(x) + (1-y)^2 |\bar{q}(x) \right] x \delta(x - x_B) \end{aligned}$$

$$\begin{aligned} \frac{d\sigma^{\text{el}\bar{\nu}}}{dx_B dy} &= \frac{\pi 2M\nu}{E'} \frac{2ME E'}{\pi} \frac{d\sigma^{\text{el}}}{dtdu} \\ &= \frac{G_F^2 e_f^2}{8\pi} \left(\frac{M_W^2}{Q^2 + M_W^2} \right)^2 s \left[1 |\bar{q}(x) + (1-y)^2 |q(x) \right] x \delta(x - x_B) \end{aligned} \qquad 1 + \frac{u}{s} = y$$

Non c'è fattore 1/2 per media su elicità del ν

$$\begin{aligned}
\frac{d\sigma^{\nu/\bar{\nu}}}{dx_B dy} &= \frac{G_F^2}{4\pi} \left(\frac{M_W^2}{Q^2 + M_W^2} \right)^2 ME \left[F_1 x_B y^2 + F_2 \left(1 - y - \frac{M x_B y}{2E} \right) \pm x_B \left(y - \frac{y^2}{2} \right) F_3 \right] \\
&\sim \frac{G_F^2}{8\pi} \left(\frac{M_W^2}{Q^2 + M_W^2} \right)^2 s \frac{F_2}{2} \left[1 \pm \frac{x_B F_3}{F_2} + (1 - y)^2 \left(1 \mp \frac{x_B F_3}{F_2} \right) \right] \\
&= \sum_f \int_0^1 dx \frac{d\sigma^{\text{el}\nu/\bar{\nu}}}{dx dy} \phi_f(x) \\
&= \frac{G_F^2}{8\pi} \left(\frac{M_W^2}{Q^2 + M_W^2} \right)^2 s \sum_f e_f^2 \int_0^1 dx x \delta(x - x_B) \left[\phi_f(x)/\bar{\phi}_f(x) + (1 - y)^2 \bar{\phi}_f(x)/\phi_f(x) \right] \\
&= \frac{G_F^2}{8\pi} \left(\frac{M_W^2}{Q^2 + M_W^2} \right)^2 s \sum_f e_f^2 x_B \left[\phi_f(x_B)/\bar{\phi}_f(x_B) + (1 - y)^2 \bar{\phi}_f(x_B)/\phi_f(x_B) \right]
\end{aligned}$$

$$\begin{aligned}
\frac{F_2}{2} \left(1 + \frac{x_B F_3}{F_2} \right) &= x_B \sum_f e_f^2 \phi_f(x_B) & F_2(x_B) &= x_B \sum_f e_f^2 \left[\phi_f(x_B) + \bar{\phi}_f(x_B) \right] \\
\frac{F_2}{2} \left(1 - \frac{x_B F_3}{F_2} \right) &= x_B \sum_f e_f^2 \bar{\phi}_f(x_B) & F_3(x_B) &= \sum_f e_f^2 \left[\phi_f(x_B) - \bar{\phi}_f(x_B) \right]
\end{aligned}$$

$SU_f(3) \rightarrow 12$ incognite : $u_p, d_p, s_p, \bar{u}_p, \bar{d}_p, \bar{s}_p$
 $u_n, d_n, s_n, \bar{u}_n, \bar{d}_n, \bar{s}_n$

8 misure possibili : $F_2^{W^+p}, F_2^{W^-p}, F_3^{W^+p}, F_3^{W^-p}$
 $F_2^{W^+n}, F_2^{W^-n}, F_3^{W^+n}, F_3^{W^-n}$

invarianza di isospin : $u_p \equiv d_n$ $d_p \equiv u_n$

simmetria di isospin del “mare” : $\bar{u} = \bar{d} = \bar{s}$

Sistema determinato: da DIS (anti)neutrino – Nucleone si possono estrarre le distribuzioni degli (anti)quark per i tre flavor

Esempio : $\nu_{e/\mu} + p \rightarrow e^- / \mu^- + X$

$$J_{W^+}^\mu \propto \bar{u} \gamma^\mu (1 - \gamma_5) [d \cos \theta_C + s \sin \theta_C] \\ + \bar{d} \gamma^\mu (1 + \gamma_5) \bar{u}$$

$$\frac{F_2(x_B)}{x_B} = 2F_1(x_B) = 2 [d(x_B) + s(x_B) + \bar{u}(x_B)] \\ F_3(x_B) = 2 [d(x_B) + s(x_B) - \bar{u}(x_B)]$$

$\bar{\nu}_{e/\mu} + p \rightarrow e^+ / \mu^+ + X$

$$J_{W^-}^\mu \propto [\bar{d} \cos \theta_C + \bar{s} \sin \theta_C] \gamma^\mu (1 - \gamma_5) u \\ + \overline{(\bar{u})} \gamma^\mu (1 + \gamma_5) \bar{d}$$

$$\frac{F_2(x_B)}{x_B} = 2F_1(x_B) = 2 [\bar{d}(x_B) + \bar{s}(x_B) + u(x_B)] \\ F_3(x_B) = 2 [-\bar{d}(x_B) - \bar{s}(x_B) + u(x_B)]$$

Verifiche sperimentali

(anti)neutrino DIS su nuclei isoscalari ($Z=N \rightarrow n^0 u = n^0 d$ quarks)

$$\frac{\sigma(\nu A)}{\sigma(\bar{\nu} A)} \sim 3$$

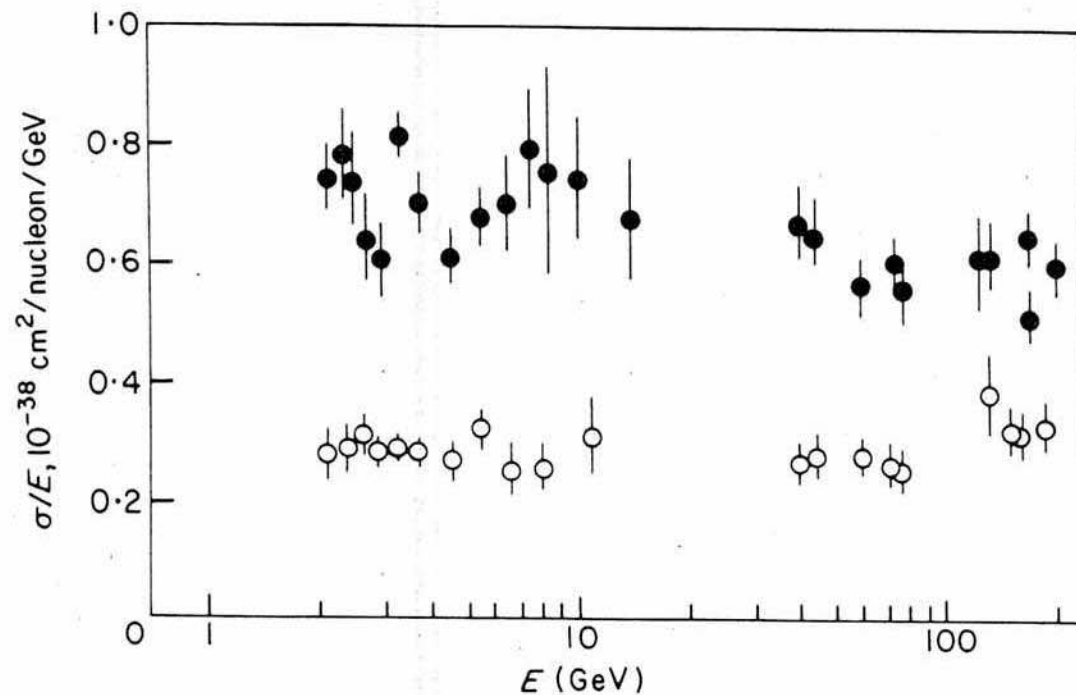


FIG. 11.12. $\sigma^{\bar{\nu}}/E$ and σ^ν/E for $E \leq 200$ GeV.

Dati dell'esp. Gargamelle

Perkins, Contemp. Phys. **16** 173 (75)

Interpretazione in QPM :

$$\text{approssimazioni : } \bar{u} = \bar{d} = \bar{c} = \bar{s} = \bar{t} = \bar{b} = 0$$

$$s \sim c \sim K \quad t \sim b \sim 0$$

$$\frac{d\sigma^{\nu A}}{dx_B dy} = N^{\nu A} \left[\left(1 - y + \frac{y^2}{2} - \frac{M_A x_B y}{2E} \right) F_2 + \left(y - \frac{y^2}{2} \right) x_B F_3 \right]$$

$$\sim N^{\nu A} 2x_B (d + K) \quad F_2 = x_B F_3 = 2x_B (d + s)$$

$$\frac{d\sigma^{\bar{\nu} A}}{dx_B dy} = N^{\bar{\nu} A} \left[\left(1 - y + \frac{y^2}{2} - \frac{M_A x_B y}{2E} \right) F_2 - \left(y - \frac{y^2}{2} \right) x_B F_3 \right]$$

$$\sim N^{\bar{\nu} A} 2x_B (u + K) (1 - y)^2 \quad F_2 = x_B F_3 = 2x_B (u + c)$$

$$\frac{\sigma^{\nu A}}{\sigma^{\bar{\nu} A}} = \frac{\int_0^1 dx dy d\sigma^{\nu A}}{\int_0^1 dx dy d\sigma^{\bar{\nu} A}} = \frac{N^{\nu A} \int_0^1 dx 2x(d + K)}{N^{\bar{\nu} A} \int_0^1 dx 2x(u + K) \frac{1}{3}} \sim 3$$

$N = \{ \text{partoni a spin } \frac{1}{2} \text{ con stessa interazione} \\ \text{elettrodebole dei leptoni ; antipartoni soppressi} \}$

Inoltre per $x_B \gtrsim 0.2$ no antiquark

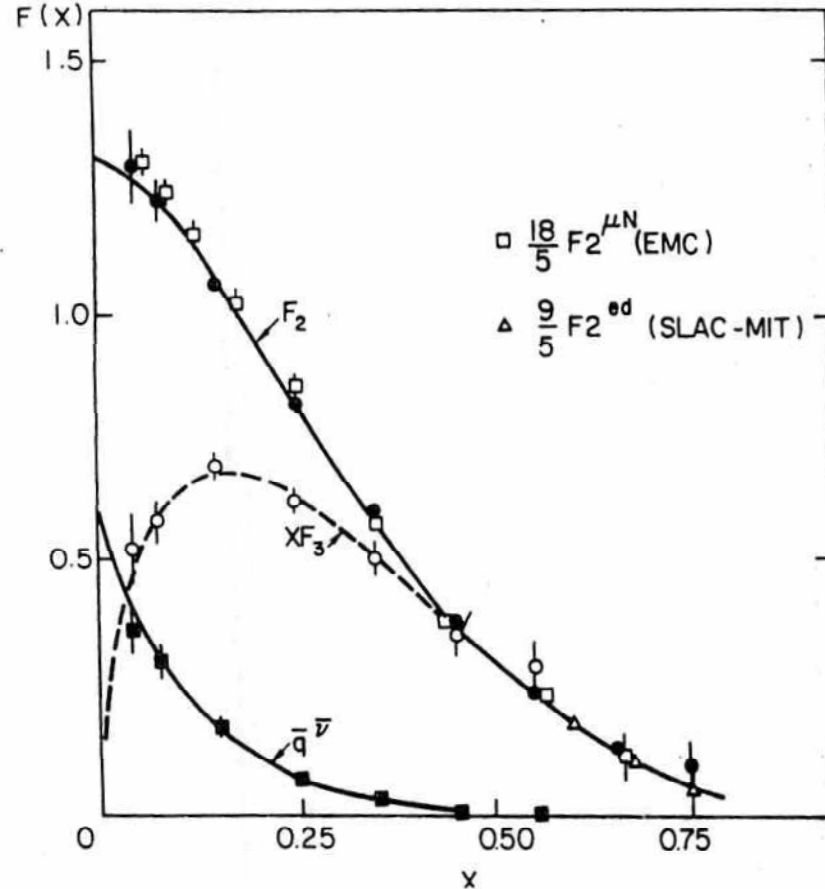
$$\frac{\frac{d\sigma^{\nu A}}{dx_B dy}|_{y=0}}{\frac{d\sigma^{\bar{\nu} A}}{dx_B dy}|_{y=0}} \sim \frac{N^{\nu A} 2x_B (d + s)}{N^{\bar{\nu} A} 2x_B (u + c)} \stackrel{A=p}{=} \frac{d(x_B)}{u(x_B)} \xrightarrow{x_B \rightarrow 1} 0$$

consistente con la dominanza di quark u in p (d in n) dei dati di DIS di elettrone

$$1 \xleftarrow{x_B \rightarrow 0} \frac{F_2^{e^- n}}{F_2^{e^- p}} \xrightarrow{x_B \rightarrow 1} \frac{1}{4}$$

rapporto di carica : DIS di elettrone e (anti)neutrino su nuclei isoscalari

$$\frac{F_2^{e^- A}}{F_2^{\nu A} + F_2^{\bar{\nu} A}} \sim \frac{5}{18}$$



- Collab. BCDMS, P.L. **B195** 91 (87)
- “ “ , “ **B237** 592 (90)
- “ “ , “ “ 599 (90)
- “ CCFR , Z. Phys. **C26** 1 (84)

Interpretazione in QPM :

$$\begin{array}{ccc}
 0 & x_B \xrightarrow{0} & \frac{x_B F_3}{F_2} \sim \frac{q - \bar{q}}{q + \bar{q}} & x_B \xrightarrow{1} & 1 \\
 & \nwarrow & & \nearrow & \\
 \frac{\bar{q}}{q} & x_B \xrightarrow{0} & & \frac{\bar{q}}{q} & x_B \xrightarrow{1} & 0 \\
 & \searrow & & \swarrow & & \\
 & & & & & 1
 \end{array}$$

per $x_B \gtrsim 0.2$ e $f = u, d$

$$\frac{F_2^{e^- A}}{F_2^{\nu A} + F_2^{\bar{\nu} A}} \sim \frac{A x_B \left(\frac{4}{9}u + \frac{1}{9}d \right)}{A 2 x_B (d + u)} \sim \frac{1}{2} \left(\frac{4}{9} + \frac{1}{9} \right) = \frac{5}{18}$$

(carica)² media

deviazioni per $x < 0.2$ dovute a $s(x)$, $c(x)$ e correzioni pQCD

Regole di somma

$$\int_0^1 dx u(x) - \bar{u}(x) = n_u \begin{matrix} \swarrow 2 & \mathbf{p} \\ \searrow 1 & \mathbf{n} \end{matrix}$$

$$\int_0^1 dx d(x) - \bar{d}(x) = n_d \begin{matrix} \swarrow 1 & \mathbf{p} \\ \searrow 2 & \mathbf{n} \end{matrix}$$

$$\int_0^1 dx s(x) - \bar{s}(x) = 0$$

Adler s.r. $\int_0^1 \frac{dx}{2x} (F_2^{\bar{\nu}p} - F_2^{\nu p}) = n_u - n_d + n_c - n_s = 1$

dato exp. 1.01 ± 0.20 Allasia *et al.*, P.L. **B135** 231 (84)
Z. Phys. **C28** 321 (85)

unpolarized Bjorken s.r. $\int_0^1 dx (F_1^{\bar{\nu}p} - F_1^{\nu p}) = n_u - n_d + n_c - n_s = 1$

Gross-Llewellyn Smith s.r. $\int_0^1 \frac{dx}{2} (F_3^{\bar{\nu}p} + F_3^{\nu p}) = n_u + n_d + n_c + n_s = 3$

dato exp. 2.50 ± 0.08 correzioni pQCD evidenti!

Gottfried s.r.

$$\begin{aligned}
 \int_0^1 \frac{dx}{x} \left(F_2^{e^-p} - F_2^{e^-n} \right) &= \frac{1}{3} \int_0^1 dx (u + \bar{u} - d - \bar{d}) \\
 &= \frac{1}{3} \int_0^1 dx (u^v - d^v) + \frac{1}{3} \int_0^1 dx (u^{sea} - d^{sea}) \\
 &\sim \frac{1}{3} (n_u - n_d) = \frac{1}{3}
 \end{aligned}$$

simmetria isospin \nearrow
 $u^{sea} = d^{sea}$ \nearrow
 dato exp. 0.240 ± 0.016

correzioni QCD $\rightarrow u^{sea} \neq d^{sea}$
 $d\bar{d} > u\bar{u}$

NMC coll., P.R.L. **66** 2712 (91)
 Arneodo, P.Rep. **240** 301 (94)

Momentum s.r.

$$\int_0^1 dx x (u + \bar{u} + d + \bar{d} + s + \bar{s}) = \frac{9(1 + \delta)}{5 + 2\delta} \int_0^1 dx (F_2^{e^-p} + F_2^{e^-n}) = 1 - \varepsilon$$

$$\delta = \frac{\int_0^1 dx x (s + \bar{s})}{\int_0^1 dx x (u + \bar{u} + d + \bar{d})}$$

dati $\rightarrow \delta < 0.06 \rightarrow \varepsilon \sim 0.5 \pm 0.04$

$$= \int_0^1 dx \left[\frac{9}{2} (F_2^{e^-p} + F_2^{e^-n}) - \frac{3}{4} (F_2^{\nu p} + F_2^{\nu n}) \right] = 1 - \varepsilon$$

gluoni portano circa meta' del momento del N !